

# I-124 むじりをうける T型接手の応力解析

埼玉大学 理工学部 正員〇鈴木成興  
東京大学 工学部 正員 増村敏惠

## 1. はじめに

近年、パイプ構造は、その力学的合理性のゆえに多方面に使用され、T型接手は構造物の利点所に見出される。しかし、このタイプの構造の応力解析はほとんどされて居らず、早急に解決すべき構造工学上の問題と考えられる。

筆者等は一連の研究を通じて、このテーマを取り上げ、いくつかの荷重の場合の解析を行なって来た。本研究もこれらの一環として行なったもので、次の2つの場合を取り上げる。

### 1. 枝管をむじる場合

### 2. 本管をむじる場合

以下、これらの解析の概略を示めよう。

## 2. 基本方程式の解

応力解析は次の手順に従って行なう。実際の応力状態は膜応力状態と局部的剛曲げ応力状態より成るものと考え、後者はいわゆる shallow shell の場合の基本方程式を用いて求めた。

$$D \Delta \Delta \tilde{w} - i E h C C^{\alpha i} C^{\beta j} \nabla_i (\delta \alpha \delta \beta; \tilde{w}) = -f_n$$

今の場合、複数係数の偏微分方程式を解くことに図3(a)、これを簡単化して、接合線と直交する測地法線方向に急激に減少する解を求める。これは次のようにならわれる。

$$\tilde{Q}_{vv}^I = - \frac{i}{\varepsilon I r} \frac{1-i}{\sqrt{2}} \frac{(C \cos 2\varphi + \frac{r^2}{R^2} \sin^2 \varphi)(1 - \frac{r^2}{R^2} \sin^2 \varphi)^{1/2}}{(1 - \frac{r^2}{R^2} \sin^2 \varphi)^2} e^{\lambda_1(\varphi)} \frac{\beta}{\varepsilon I} \tilde{\psi}_o^I(\varphi)$$

$$\tilde{Q}_{vt}^I = \frac{i}{\varepsilon I r^2} \frac{1-i}{\sqrt{2}} \frac{\frac{r^2}{R^2} \sin \varphi \cos \varphi (\cos 2\varphi + \frac{r^2}{R^2} \sin^2 \varphi)}{(1 - \frac{r^2}{R^2} \sin^2 \varphi)^2} e^{\lambda_1(\varphi)} \frac{\beta}{\varepsilon I} \tilde{\psi}_o^I(\varphi)$$

$$\tilde{Q}_{tt}^I = \frac{1}{c r} \frac{1 - \frac{r^2}{R^2} \sin^2 \varphi}{1 - \frac{r^2}{R^2} \sin^2 \varphi} e^{\lambda_1(\varphi)} \frac{\beta}{\varepsilon I} \tilde{\psi}_o^I(\varphi)$$

$$\tilde{Q}_{vm}^I = \frac{i}{\varepsilon I r^2} \frac{1-i}{\sqrt{2}} \frac{(1 - \frac{r^2}{R^2} \sin^2 \varphi)^{3/2}}{(1 - \frac{r^2}{R^2} \sin^2 \varphi)^{3/2}} e^{\lambda_1(\varphi)} \frac{\beta}{\varepsilon I} \tilde{\psi}_o^I(\varphi)$$

$$\text{ここで } \lambda_1(\varphi) = \frac{(1 - \frac{r^2}{R^2} \sin^2 \varphi)^{1/2}}{(1 - \frac{r^2}{R^2} \sin^2 \varphi)^{1/2}}, \quad \varepsilon I = \sqrt{\frac{h}{3.305 r}}$$

$$\begin{aligned}\tilde{Q}_{W}^{\text{II}} &= \frac{-i}{\varepsilon_{\text{II}} r^2} \frac{1-i}{\sqrt{2}} \frac{\left\{2\left(1-\frac{r^2}{R^2} \sin^2 \varphi\right) - \left(1-\frac{r^2}{R^2} \sin^4 \varphi\right)\right\}}{\left(1-\frac{r^2}{R^2} \sin^4 \varphi\right)^2} \cos \varphi e^{\lambda_2(\varphi)} \frac{\beta}{\varepsilon_{\text{II}}} \tilde{\psi}_o^{\text{II}}(\varphi) \\ \tilde{Q}_{Vt}^{\text{II}} &= \frac{i}{\varepsilon_{\text{II}} r^2} \frac{1-i}{\sqrt{2}} \frac{\left(1-\frac{r^2}{R^2} \sin^2 \varphi\right)^{1/2} \left\{2\left(1-\frac{r^2}{R^2} \sin^2 \varphi\right) - \left(1-\frac{r^2}{R^2} \sin^4 \varphi\right)\right\}}{\left(1-\frac{r^2}{R^2} \sin^4 \varphi\right)^2} \sin \varphi e^{\lambda_2(\varphi)} \frac{\beta}{\varepsilon_{\text{II}}} \tilde{\psi}_o^{\text{II}}(\varphi) \\ \tilde{Q}_{tt}^{\text{II}} &= \frac{1}{CR} \frac{\cos^2 \varphi}{1-\frac{r^2}{R^2} \sin^4 \varphi} e^{\lambda_2(\varphi)} \frac{\beta}{\varepsilon_{\text{II}}} \tilde{\psi}_o^{\text{II}}(\varphi) \\ \tilde{Q}_{vn}^{\text{II}} &= \frac{i}{\varepsilon_{\text{II}} R} \frac{1-i}{\sqrt{2}} \frac{\cos^3 \varphi}{\left(1-\frac{r^2}{R^2} \sin^4 \varphi\right)^{3/2}} e^{\lambda_2(\varphi)} \frac{\beta}{\varepsilon_{\text{II}}} \tilde{\psi}_o^{\text{II}}(\varphi)\end{aligned}$$

しかし、 $\tilde{Q}^{\text{II}}$  の諸量は  $\varphi = \frac{\pi}{2}$  の時  $0$  に収束して物理的意味がなくなる。この場合は、次の解を用いる。

$$\begin{aligned}\tilde{Q}_{W}^{\text{II}} &= \frac{-i a}{\varepsilon_{\text{II}}^{2/3}} \frac{1}{r^2} \frac{\left\{2\left(1-\frac{r^2}{R^2} \sin^2 \varphi\right) - \left(1-\frac{r^2}{R^2} \sin^4 \varphi\right)\right\}}{\left(1-\frac{r^2}{R^2} \sin^4 \varphi\right)^{3/2}} \exp \left\{-\frac{a}{2(1-\frac{r^2}{R^2})^{1/2}} \frac{(\frac{\pi}{2}-\varphi)^2}{\varepsilon_{\text{II}}^{2/3}}\right\} \cdot \exp \left\{\frac{a \beta}{\varepsilon_{\text{II}}^{2/3}}\right\} \\ &\cdot \left[ \exp \left\{-\frac{1+i}{\sqrt{2}} \frac{a^2(\frac{\pi}{2}-\varphi)}{\varepsilon_{\text{II}}^{1/3}}\right\} \tilde{A}_n + \exp \left\{\frac{1+i}{\sqrt{2}} \frac{a^2(\frac{\pi}{2}-\varphi)}{\varepsilon_{\text{II}}^{1/3}}\right\} \tilde{B}_n \right]\end{aligned}$$

$$\begin{aligned}\tilde{Q}_{Vt}^{\text{II}} &= -\frac{ia^3}{\varepsilon_{\text{II}} r^2} \frac{1+i}{\sqrt{2}} \exp \left\{-\frac{a}{2(1-\frac{r^2}{R^2})^{1/2}} \frac{(\frac{\pi}{2}-\varphi)^2}{\varepsilon_{\text{II}}^{2/3}}\right\} \exp \left(-\frac{a \beta}{\varepsilon_{\text{II}}^{2/3}}\right) \\ &\cdot \left[ \exp \left\{-\frac{1+i}{\sqrt{2}} \frac{a^2(\frac{\pi}{2}-\varphi)}{\varepsilon_{\text{II}}^{1/3}}\right\} \tilde{A}_n - \exp \left\{\frac{1+i}{\sqrt{2}} \frac{a^2(\frac{\pi}{2}-\varphi)}{\varepsilon_{\text{II}}^{1/3}}\right\} \tilde{B}_n \right]\end{aligned}$$

$$\begin{aligned}\tilde{Q}_{tt}^{\text{II}} &= \frac{ia^2}{\varepsilon_{\text{II}}^{4/3} r^2} \exp \left\{-\frac{a}{2(1-\frac{r^2}{R^2})^{1/2}} \frac{(\frac{\pi}{2}-\varphi)^2}{\varepsilon_{\text{II}}^{2/3}}\right\} \cdot \exp \left(-\frac{a \beta}{\varepsilon_{\text{II}}^{2/3}}\right) \\ &\cdot \left[ \exp \left\{-\frac{1+i}{\sqrt{2}} \frac{a^2(\frac{\pi}{2}-\varphi)}{\varepsilon_{\text{II}}^{1/3}}\right\} \tilde{A}_n + \exp \left\{\frac{1+i}{\sqrt{2}} \frac{a^2(\frac{\pi}{2}-\varphi)}{\varepsilon_{\text{II}}^{1/3}}\right\} \tilde{B}_n \right]\end{aligned}$$

$$\begin{aligned}\tilde{Q}_{vn}^{\text{II}} &= -\frac{a^3}{RR} \exp \left\{-\frac{a}{2(1-\frac{r^2}{R^2})^{1/2}} \frac{(\frac{\pi}{2}-\varphi)^2}{\varepsilon_{\text{II}}^{2/3}}\right\} \cdot \exp \left(-\frac{a \beta}{\varepsilon_{\text{II}}^{2/3}}\right) \\ &\left[ \exp \left\{-\frac{1+i}{\sqrt{2}} \frac{a^2(\frac{\pi}{2}-\varphi)}{\varepsilon_{\text{II}}^{1/3}}\right\} \tilde{A}_n + \exp \left\{\frac{1+i}{\sqrt{2}} \frac{a^2(\frac{\pi}{2}-\varphi)}{\varepsilon_{\text{II}}^{1/3}}\right\} \tilde{B}_n \right]\end{aligned}$$

$$\lambda_2(\varphi) = \frac{\cos \varphi}{\left(1-\frac{r^2}{R^2} \sin^4 \varphi\right)^{1/2}}, \quad \varepsilon_{\text{II}} = \sqrt{\frac{h_{\text{II}} R}{3.305 r^2}}$$

さて、これらの解はどういう物理現象に対応あるかを吟味すると、 $R \rightarrow \infty$  の時  $\tilde{Q}_{tt}^I$  を除いてすべて 0 になる。つまり半径  $R$  の板間に平板が接合した状態から今問題としている構造に変化した場合に生ずる応力状態を表わす。

したがって基本応力状態としては図-1に示すものを壁はねひよりめ。

次にこの場合の

応力状態を求める。

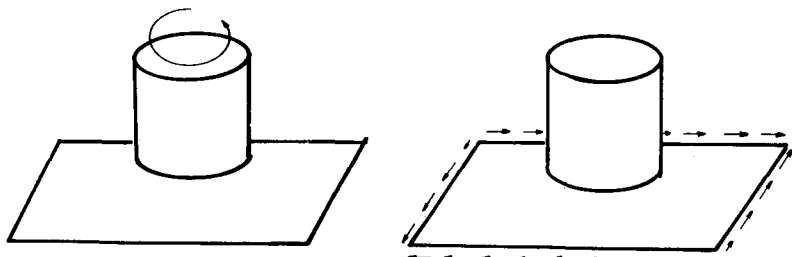


図-1

### 3. 基本応力状態

$\tilde{\sigma} = \text{const.} (= \text{edge 荷重の作用する場合})$   
の  $180^\circ$  の応力状態は次のようく表わされる。

板管ねじりの場合

$$\tilde{Q}_{vv}^I = \{-4i\varepsilon_i^2 \tilde{C}_1 e^{R_1 \theta} + (1+4i\varepsilon_i^2) \tilde{C}_2 e^{R_2 \theta}\} \sin 2\varphi$$

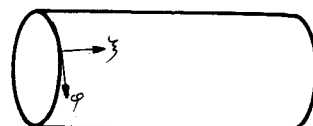
$$\tilde{Q}_{vt}^I = \frac{1}{2} \{-4i\varepsilon_i^2 R_1 \tilde{C}_1 e^{R_1 \theta} + (1+4i\varepsilon_i^2) R_2 \tilde{C}_2 e^{R_2 \theta}\} \cos 2\varphi$$

$$\tilde{Q}_{tt}^I = \{(1+4i\varepsilon_i^2) \tilde{C}_1 e^{R_1 \theta} - 4i\varepsilon_i^2 \tilde{C}_2 e^{R_2 \theta}\} \sin 2\varphi$$

$$\tilde{Q}_{vn}^I = i\varepsilon_i^2 (R_1 \tilde{C}_1 e^{R_1 \theta} + R_2 \tilde{C}_2 e^{R_2 \theta}) \sin 2\varphi$$

板管ねじりの場合

$$Q_{vv}^I = 0$$



また、平板の応力状態は次のようく表わされる。

板管ねじりの場合

図-2

$$\tilde{Q}_{vv}^{\text{II}} = \tilde{B}_0 \rho^{-2} - (6\tilde{B}_2 \rho^{-4} + 4\tilde{D}_2 \rho^{-2}) \sin 2\varphi + \rho \sin 2\varphi$$

$$\tilde{Q}_{vt}^{\text{II}} = (6\tilde{B}_2 \rho^{-4} + 2\tilde{D}_2 \rho^{-2}) \cos 2\varphi + \rho \cos 2\varphi$$

$$\tilde{Q}_{tt}^{\text{II}} = -\tilde{B}_0 \rho^{-2} + 6\tilde{B}_2 \rho^{-4} \sin 2\varphi - \rho \sin 2\varphi$$

$$\tilde{Q}_{vn}^{\text{II}} = 8\tilde{D}_2 \rho^{-3} \sin 2\varphi$$

板管ねじりの場合

$$\tilde{Q}_{vt}^{\text{II}} = \tilde{B}_0' \rho^{-2}$$

その他はすべて 0.

次に 腸 応力状態は 次のように表わされる。

主管ねじりの場合

$$\tilde{Q}_{vv}^{\text{II}} = \pm \frac{\sin^2 \varphi (1 - \frac{r^2}{R^2} \sin^2 \varphi)^{\frac{1}{2}}}{1 - \frac{r^2}{R^2} \sin^2 \varphi}, \quad \tilde{Q}_{vt}^{\text{II}} = -\pm \frac{\cos 2\varphi + \frac{r^2}{R^2} \sin^4 \varphi}{1 - \frac{r^2}{R^2} \sin^2 \varphi}$$

$$\tilde{Q}_{tt}^{\text{II}} = -\pm \frac{\sin^2 \varphi (1 - \frac{r^2}{R^2} \sin^2 \varphi)^{\frac{1}{2}}}{(1 - \frac{r^2}{R^2} \sin^2 \varphi)} \quad \tilde{Q}_{vn}^{\text{II}} = 0$$

枝管ねじりの場合

$$\tilde{Q}_{vn}^{\text{I}} = \pm \frac{\frac{r}{R} \sin 2\varphi (1 - \frac{r^2}{R^2} \sin^2 \varphi)^{\frac{1}{2}}}{1 - \frac{r^2}{R^2} \sin^2 \varphi}, \quad \tilde{Q}_{vt}^{\text{I}} = -\pm \frac{2(1 - \frac{r^2}{R^2} \sin^2 \varphi) - (1 - \frac{r^2}{R^2} \sin^4 \varphi)}{1 - \frac{r^2}{R^2} \sin^2 \varphi}$$

$$\tilde{Q}_{tt}^{\text{I}} = -\pm \frac{\frac{r}{R} \sin 2\varphi (1 - \frac{r^2}{R^2} \sin^2 \varphi)^{\frac{1}{2}}}{1 - \frac{r^2}{R^2} \sin^2 \varphi}, \quad \tilde{Q}_{vn}^{\text{I}} = 0$$

#### 4. 積分常数の決定、複雑接合条件

荷重、構造の対称性を考慮すると、枝管ねじり、主管ねじりのいずれの場合においても、二軸逆対称の応力状態が生ずる。したがって  $\tilde{\psi}_0(\varphi)$  は 次の形をもつ。

$$\tilde{\psi}_0(\varphi) = \sum_{k=1}^{\infty} \tilde{X}_k \sin 2k\varphi$$

$\tilde{X}_k$  は 積分常数であるが、これを具体的に定めることができるれば問題は解けたことになる。これらは 接手の 接合線上において 応力と変形が連続であるという条件より求められる。これらを具体的に書くと 次のようになる。

$$\{\tilde{Q}_{tt} - v \tilde{Q}_{vv}\}^{\text{I}} = \{\tilde{Q}_{tt} - v \tilde{Q}_{vv}\}^{\text{II}}, \quad \tilde{Q}_{vt}^{\text{I}} = -\tilde{Q}_{vt}^{\text{II}}$$

$$\tilde{Q}_{vv}^{\text{I}} = \tilde{Q}_{vv}^{\text{II}} \frac{r}{R} \sin^2 \varphi + \tilde{Q}_{vn}^{\text{II}} (1 - \frac{r^2}{R^2} \sin^4 \varphi)^{\frac{1}{2}}, \quad \tilde{Q}_{vn}^{\text{I}} \frac{r}{R} \sin^2 \varphi + \tilde{Q}_{vn}^{\text{II}} (1 - \frac{r^2}{R^2} \sin^4 \varphi)^{\frac{1}{2}} = \tilde{Q}_{vn}^{\text{II}}$$

また、 Simple Edge Effect & Generalized Edge Effect の境界線上で

$$\{\tilde{w}\}_{\text{gen.}} = \{\tilde{w}\}_{\text{sim.}} \quad \left\{ \frac{\partial \tilde{w}}{\partial \varphi} \right\}_{\text{gen.}} = \left\{ \frac{\partial \tilde{w}}{\partial \varphi} \right\}_{\text{sim.}}$$

今、接合線上で  $n$  頃の号を選べば  $(4n+2)$  元連立方程式が得られ、これを解けば  $\tilde{X}_k$  が得られ、これより 応力、変形量が求められる。